

# Respuesta estacionaria de circuitos estimulados con AC

José Fabio Lozano Ovalle Código: 222982

Wilson Orlando Macias Fuquen Código: 223101

David Ricardo Martínez Hernández Código: 261931

**Resumen—** Se construirán circuitos  $RC$ ,  $RL$  y  $RLC$  alimentados por una señal sinusoidal y se analizará su respuesta en estado estable. Utilizando el osciloscopio y el método de las figuras de Lissajous se obtendrá el ángulo de fase entre la tensión y la corriente en estos circuitos. También se construirán diagramas fasoriales para cada circuito y se verificará la variación del ángulo entre la tensión y el voltaje para diferentes frecuencias.

**Palabras clave—** Admitancias, Ángulo, Fase, Fasores, Frecuencia, Impedancias, Lissajous, Números Complejos, Parte Imaginaria, Parte Real, Periodo, Sinusoide.

## I. OBJETIVOS

- Aprender a utilizar el osciloscopio para hallar figuras de Lissajous.
- Utilizar el método de figuras de Lissajous para determinar el ángulo entre tensión y corriente en circuitos  $RL$ ,  $RC$  y  $RLC$ .
- Utilizar la teoría fasorial para resolver circuitos alimentados por fuentes sinusoidales en estado estable.
- Obtener los diagramas fasoriales de cada circuito, y por medio de estos determinar ángulos de fase entre tensión y corriente.

## II. MARCO TEÓRICO

La respuesta de un circuito lineal se compone de dos estados: La respuesta *natural* y la respuesta *forzada*.

La primera es la respuesta transitoria o respuesta de corto estado depende del cambio repentino a la que es sometido el elemento, la segunda es la respuesta de estado permanente de un circuito a cualquier fuente independiente presente.

Un **sinusoide** es una señal que tiene la forma de una función seno o coseno<sup>1</sup>.

Una corriente sinusoidal Hace referencia como una cualquier *Corriente alterna (ac)*.

### A. Sinusoides

Considere un voltaje sinusoidal

$$v(t) = V_m \sin \omega t \quad (1)$$

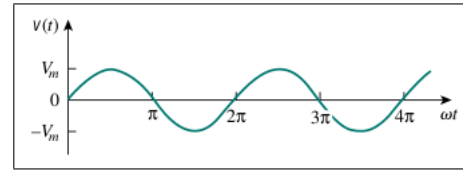
donde

$V_m$  = es la *amplitud* de el sinusoide

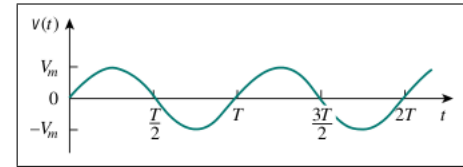
$\omega$  = es la *frecuencia angular*

$\omega t$  = es el *argumento* del sinusoide

La Fig. 1(a) es un sinusoide en función de su argumento y la Fig. 1(b) como una función del tiempo.



(a) Sinusoide en función de su argumento



(b) Sinusoide en función del tiempo

Fig. 1: Funciones sinusoides (Imágenes tomadas de [1], Página 355)

Es claro que el sinusoide se repite cada  $T$  segundos, es decir  $T$  es el *periodo* de el sinusoide. Para las dos figuras el periodo es  $\omega T = 2\pi$

$$T = \frac{2\pi}{\omega} \quad (2)$$

Si  $v(t)$  se repite cada  $T$  segundos, reemplazando  $t$  por  $t + T$  en la ecu. (1) se obtiene

$$v(t + T) = V_m \sin \omega(t + T) = V_m \sin \omega(t + \frac{2\pi}{\omega}) \quad (3)$$

$$v(t + T) = V_m \sin(\omega t + 2\pi) = V_m \sin \omega t = v(t) \quad (4)$$

entonces

$$v(t + T) = v(t) \quad (5)$$

Un **función periódica** es una función que satisface  $f(t) = f(t + nT)$ , para todo  $t$  y todo  $n$  entero<sup>2</sup>.

El periodo  $T$  de una función periódica es el tiempo de un ciclo completo. El reciproco de esta cantidad es el número de ciclos por segundo, conocida como la *frecuencia cíclica* de el sinusoide.

$$f = \frac{1}{T} \quad (6)$$

Para las ecuaciones ecu. (2) y la ecu. (6) es claro que

$$\omega = 2\pi f \quad (7)$$

<sup>1</sup>Texto tomado de [1], Página 354

<sup>2</sup>Texto tomado de [1], Página 355

Donde  $\omega$  esta en radianes por segundo ( $rad/s$ ),  $f$  es en hertz ( $Hz$ ).

$$v(t) = V_m \sin(\omega t + \phi) \quad (8)$$

donde  $(\omega t + \phi)$  es el argumento y  $\phi$  es la fase.

### B. Fasores

Un **fasor** es un número complejo que representa la amplitud y la fase de un senoide<sup>3</sup>.

Los fasores provienen de el análisis de circuitos lineales excitados por fuentes sinusoidales. Un número complejo  $z$  puede ser escrito en su forma rectangular como

$$z = x + jy \quad (9)$$

donde  $j = \sqrt{-1}$ ;  $x$  es la parte real de  $z$ ;  $y$  es la parte imaginaria de  $z$ .

El número complejo  $z$  también puede escribirse de forma polar o exponencial como

$$z = r \angle \phi = r e^{j\phi} \quad (10)$$

donde  $r$  es la magnitud de  $z$ , y  $\phi$  es la fase de  $z$ , se puede representar de tres maneras

$$z = x + jy \quad (11)$$

$$z = r \angle \phi \quad (12)$$

$$z = r e^{j\phi} \quad (13)$$

Las relaciones entre la forma rectangular y la forma polar mostrados en la Fig. 2

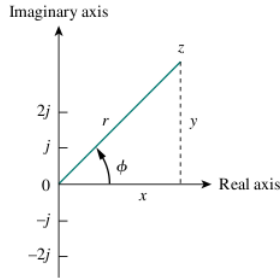


Fig. 2: Representación de un número complejo  $z = x + jy = r \angle \phi$  (Imagen tomada de [1], Página 360)

donde el eje  $x$  representa la parte real y el eje  $y$  representa la parte imaginaria del número complejo. En función de  $x$  y  $y$ , se puede representar  $r$  y  $\phi$  como

$$r = \sqrt{x^2 + y^2}, \quad \phi = \tan^{-1} \frac{y}{x} \quad (14)$$

Por otra parte si se conoce  $r$  y  $\phi$ , se puede obtener  $x$  y  $y$  como

$$x = r \cos \phi \quad y = r \sin \phi \quad (15)$$

$z$  se puede escribir como

$$z = x + jy = r \angle \phi = r(\cos \phi + j \sin \phi) \quad (16)$$

<sup>3</sup>Texto tomado de [1], Página 359

Las operaciones básicas se realizan de la siguiente manera:

#### Adición:

$$z_1 + z_2 = (x_1 + x_2) + j(y_1 + y_2) \quad (17)$$

#### Substracción:

$$z_1 - z_2 = (x_1 - x_2) + j(y_1 - y_2) \quad (18)$$

#### Multiplicación:

$$z_1 z_2 = r_1 r_2 \angle (\phi_1 + \phi_2) \quad (19)$$

#### División:

$$\frac{z_1}{z_2} = \frac{r_1}{r_2} \angle (\phi_1 - \phi_2) \quad (20)$$

#### Recíproco:

$$\frac{1}{z} = \frac{1}{r} \angle -\phi \quad (21)$$

#### Raíz Cuadrada:

$$\sqrt{z} = \sqrt{r} \angle (\phi/2) \quad (22)$$

#### Conjugado complejo:

$$z^* = x - jy = r \angle -\phi = r e^{-j\phi} \quad (23)$$

Representación en el tiempo	Representación en fasores
$V_m \cos(\omega t + \phi)$	$V_m \angle \phi$
$V_m \sin(\omega t + \phi)$	$V_m \angle (\phi - 90^\circ)$
$I_m \cos(\omega t + \phi)$	$I_m \angle \phi$
$I_m \sin(\omega t + \phi)$	$I_m \angle (\phi - 90^\circ)$

TABLA I: Transformaciones de sinusoides a fasores (Tomado de [1], Página 363)

La **impedancia**  $Z$  de un circuito es la relación entre la tensión  $V$  y la corriente  $I$  de fasor, medida en Ohmios ( $\Omega$ )<sup>4</sup>.

La **admitancia**  $Y$  es el recíproco de la impedancia medida en siemens ( $S$ )<sup>5</sup>.

Elemento	Impedancia	Admitancia
$R$	$Z = R$	$Y = \frac{1}{R}$
$L$	$Z = j\omega L$	$Y = \frac{1}{j\omega L}$
$C$	$Z = \frac{1}{j\omega C}$	$Y = j\omega C$

TABLA II: Impedancias y Admitancias de elementos pasivos (Tomado de [1], Página 363)

Los teoremas para solucionar circuitos en fasores son los mismos y llevan el mismo procedimiento que los utilizados en circuitos  $DC$ , tomando el voltaje y la corriente en su forma fasorial, y la resistencia por una impedancia, la cual lleva una parte real y una parte imaginaria.

<sup>4</sup>Texto tomado de [1], Página 370

<sup>5</sup>Texto tomado de [1], Página 371

### C. Curvas de Lissajous

Las curvas de Lissajous son gráficas de ecuaciones paramétricas, correspondientes a la superposición de dos movimientos armónicos simples en direcciones perpendiculares, estas gráficas fueron investigadas por **Nathaniel Bowditch**, y posteriormente con mayores detalles por **Jules Antoine Lissajous**.

La característica principal de la figura es que, debido a su característica de representar dos ecuaciones paramétricas sinusoidales, esta gráfica es sensible a la relación de la frecuencia de las dos señales, la fase y la amplitud entre ellas, como se observa en la Fig. 3

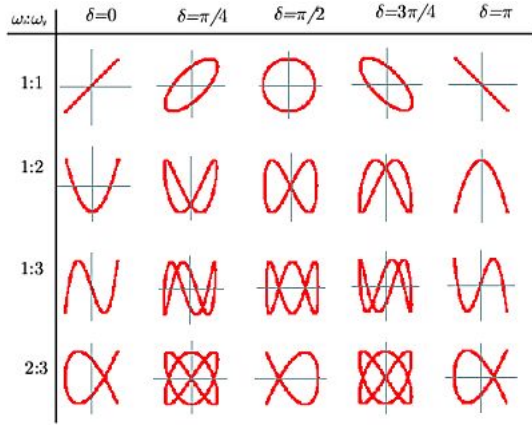


Fig. 3: Gráficas de Lissajous (Imagen tomada de [6])

### III. HIPÓTESIS

En un circuito  $RL$  la corriente en el inductor se encuentre  $90$  grados atrasada respecto a la tensión y la de la resistencia esta en fase con el voltaje.

En un circuito  $RC$  la corriente en el capacitor se encuentre  $90^\circ$  adelantada respecto a la tensión y la de la resistencia esta en fase con el voltaje.

Las curvas de Lissajous que se obtendrán para los circuitos  $RL$  y  $RC$  serán de la forma:

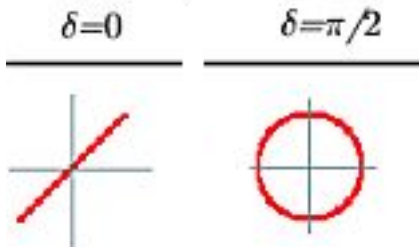


Fig. 4: Curvas que se obtendrán

### IV. MATERIALES

- Bobina
- Condensador
- Generador de Señales
- Multímetro
- Osciloscopio
- Resistencias

### V. ANÁLISIS Y RESULTADOS TEÓRICO

Para esta práctica se implementarán tres circuitos los cuales se muestran a continuación y sus cálculos correspondientes, además el diagrama fasorial. Para cada circuito se usara una fuente  $AC$  con un  $V_p = 5\text{ V}$  a una frecuencia  $f = 1000\text{ Hz}$ .

#### A. Circuito $RL$

Para el siguiente circuito se hace un análisis fatorial por el método de mallas

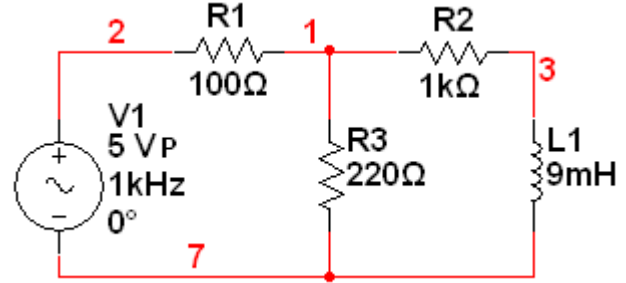


Fig. 5: Montaje del circuito  $RL$

$$Z_L = j\omega L = j56.549 \quad (24)$$

$$5\angle 0^\circ = i_1(100 + 220) - i_2(220) \quad (25)$$

$$0 = i_2(1000 + 220 + j56.549) - i_1(220) \quad (26)$$

Con la solución del sistema anterior se obtienen los siguientes datos:

Elemento	Tensión [V]	Corriente [mA]
$R_1$	$1.782\angle -0.3748^\circ$	$17.83\angle -0.3748^\circ$
$R_2$	$3.2119\angle -3.0288^\circ$	$3.2119\angle -3.0288^\circ$
$R_3$	$4.62836\angle 0.14448^\circ$	$21.038\angle 0.14448^\circ$
$L_1$	$0.18163\angle 86.971^\circ$	$3.2119\angle -3.0288^\circ$

TABLA III: Valores obtenidos teóricamente

Luego se muestra el diagrama fasorial de la tensión y corriente en la inductancia, donde  $V_L = Z_1$  y  $I_L = Z_2$

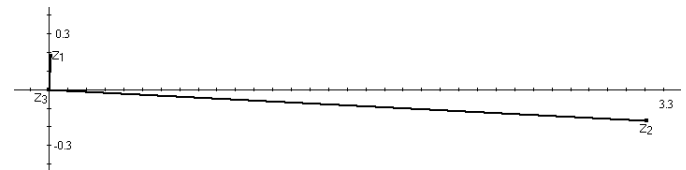
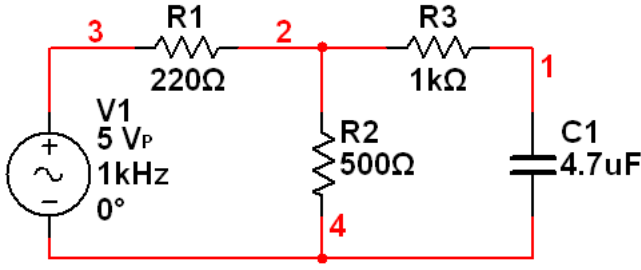


Fig. 6: Diagrama Fasorial circuito  $RL$

#### B. CIRCUITO $RC$

Para este circuito se hace un análisis fasorial de por mallas.

Fig. 7: Montaje del circuito  $RL$ 

$$Z_c = \frac{1}{j\omega c} = -j33.863 \quad (27)$$

$$5\angle 0^\circ = i_1(220 + 500) - i_2(500) \quad (28)$$

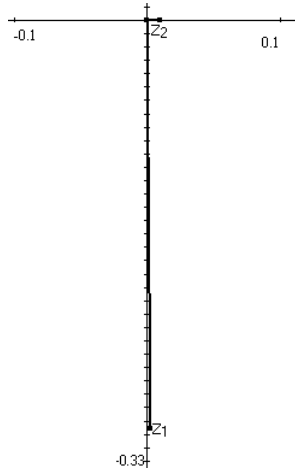
$$0 = i_2(1000 + 500 - j33.863) - i_1(500) \quad (29)$$

Al solucionar el sistema de ecuaciones se tiene los siguientes datos:

Elemento	Tensión [V]	Corriente [mA]
$R_1$	$1.987634\angle -0.38929^\circ$	$9.0347\angle -0.38929^\circ$
$R_2$	$6.022\angle -0.12854^\circ$	$12.044\angle -0.12854^\circ$
$R_3$	$3.30107\angle 1.6826^\circ$	$3.30107\angle 1.6826^\circ$
$C_1$	$0.30594\angle -89.611^\circ$	$9.0347\angle 0.38929^\circ$

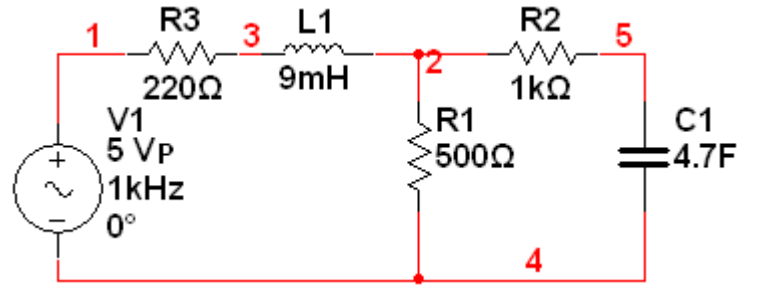
TABLA IV: Valores obtenidos teóricamente

A continuación se tiene la gráfica fasorial de la corriente y la tensión en el capacitor, donde  $V_C = Z_1$  y  $I_C = Z_2$ .

Fig. 8: Diagrama Fasorial circuito  $RC$ 

### C. Circuito $RLC$

Para el siguiente circuito se hace un análisis fasorial por el método de mallas para observar el comportamiento del circuito en estado estacionario.

Fig. 9: Montaje del circuito  $RLC$ 

$$Z_C = \frac{1}{j\omega c} = -j33.863 \quad (30)$$

$$Z_L = j\omega L = j56.549 \quad (31)$$

$$5\angle 0^\circ = i_1(220 + 500 + j56.549) - i_2(500) \quad (32)$$

$$0 = i_2(1000 + 500 - j33.863) - i_1(500) \quad (33)$$

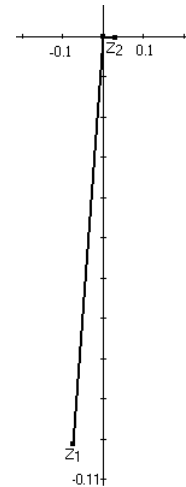
A partir de la solución del sistema anterior se obtienen los siguientes datos:

Elemento	Tensión [V]	Corriente [mA]
$R_1$	$2.999\angle -6.0938^\circ$	$5.9979\angle -6.0938^\circ$
$R_2$	$2.9972\angle -4.1555^\circ$	$2.9972\angle -4.1555^\circ$
$R_3$	$1.9787\angle -5.448^\circ$	$8.994\angle -5.448^\circ$
$C_1$	$0.10149\angle -94.156^\circ$	$0.0029978\angle 4.1555^\circ$
$L_1$	$0.5089\angle 84.552^\circ$	$8.994\angle -5.448^\circ$

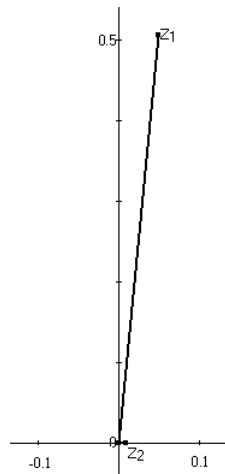
TABLA V: Valores obtenidos teóricamente

Para este circuito se tienen los diagramas fasoriales en  $C_1$  y  $L_1$ .

Para este gráfico  $V_C = Z_1$  y  $I_C = Z_2$ :

Fig. 10: Diagrama Fasorial circuito  $RCL$ 

Para el siguiente diagrama se tiene que  $V_L = Z_1$  y  $I_L = Z_2$ .

Fig. 11: Diagrama Fasorial circuito  $RCL$ 

## VI. PREGUNTAS

- 1) ¿Como es el ángulo de fase entre la tensión y la corriente de cada uno de los circuitos  $RL$ ,  $RC$  y  $RLC$ ?

Elegimos una amplitud de tensión de la fuente de  $V_M$  y un ángulo de fase de cero grados.

Para un circuito  $RL$  el ángulo de fase de la corriente dependerá de la relación entre la tensión y la impedancia y como elegimos el ángulo de la fuente de tensión en cero grados, la corriente tendrá un ángulo de fase dependiente de la impedancia:

$$\phi = -\tan^{-1} \frac{\omega L}{R} \quad (34)$$

Utilizando la misma consideración para la fuente, en un circuito  $RC$  la corriente tendrá un ángulo de fase:

$$\phi = -\tan^{-1} \frac{1}{R\omega C} \quad (35)$$

Para un circuito  $RLC$  en serie tenemos que la corriente tendrá un ángulo de fase:

$$\phi = -\tan^{-1} \frac{\omega L - \frac{1}{\omega C}}{R} \quad (36)$$

- 2) ¿El ángulo de fase entre la tensión y la corriente en circuitos  $RL$ ,  $RC$  y  $RLC$  varía con respecto a la frecuencia?

Sí varía puesto que la impedancia del inductor y del condensador dependen directamente de la frecuencia:

$$Z_L = j\omega L \quad Z_C = \frac{1}{j\omega C} \quad (37)$$

$\omega = 2\pi f$  siendo  $f$  la frecuencia.

- 3) ¿Que diferencias hay entre los ángulos medidos usando las figuras de Lissajous y usando la visualización en función del tiempo de osciloscopio?

No debería haber ninguna, pero eso se responderá en la práctica.

- 4) ¿Que utilidad tiene el uso de los fasores en el análisis de circuitos en contraposición con los análisis realizados en las prácticas anteriores?

Las tensiones, corrientes e impedancias en un circuito de corriente alterna se pueden representar como vectores en

el plano complejo, la notación fasorial toma los valores de magnitud y ángulo de dichos vectores y esto permite que los cálculos sean más cortos.

- 5) ¿Coinciden las magnitudes y ángulos de fase obtenidos experimentalmente con los valores teóricos?

Esta pregunta se responderá con los resultados de la práctica.

## REFERENCIAS

- [1] Alexander, Charles K. & Sadiku, Matthew N.O. “*Fundamentals of Electric Circuits*”. McGRAW-HILL, ISE Editions, 1999.
- [2] Dorf & Svoboda. “*Circuitos Eléctricos*”. Alfaomega, Sexta Edición, 2006.
- [3] Hayt, William H. Jr., Kemmerly, Jack E. & Durbin, Steven M. “*Análisis de circuitos en ingeniería*”. McGRAW-HILL, Séptima Edición, 2007.
- [4] Nahvi, Mahmood & Edminister, Joseph A. “*Theory and Problems of Electric Circuits*”. McGRAW-HILL, Fourth Edition, 2003.
- [5] [http://es.wikipedia.org/wiki/Curva\\_de\\_Lissajous](http://es.wikipedia.org/wiki/Curva_de_Lissajous). Visitada el 18 de septiembre de 2011.
- [6] <http://www.chochitopelao.com/las-curvas-de-lissajous/>. Visitada el 18 de septiembre de 2011.